

# 加入 TaC 对 $Ti_3SiC_2$ 陶瓷材料性能的影响

杨祎诺, 尹洪峰, 刘百宽, 袁蝴蝶, 贾换

(西安建筑科技大学 材料与矿资学院, 西安 710055)

**摘要:**采用反应热压烧结法制备了含有 20% TaC(质量分数,下同)的  $TaC/Ti_3SiC_2$  材料,并对其相组成、力学性能和抗氧化性能进行了研究。结果表明:(1)随着热压温度的升高,试样的致密度、弯曲强度和断裂韧度有所提高;(2)20%  $TaC/Ti_3SiC_2$  材料抗氧化性能优于纯  $Ti_3SiC_2$  材料和 20%  $SiC/Ti_3SiC_2$  材料;(3)20%  $TaC/Ti_3SiC_2$  材料形成的氧化层分为两层,外层氧化物主要为  $TiO_2$ ,内层氧化物主要为  $TiO_2$ 、 $SiO_2$  及  $TiO_2$  与  $Ta_2O_5$  的共熔物。

**关键词:**  $TaC$ ;  $Ti_3SiC_2$  陶瓷; 力学性能; 抗氧化性能

doi:10.3969/j.issn.1005-5053.2013.1.010

中图分类号: TB33

文献标识码: A

文章编号: 1005-5053(2013)01-0056-05

$Ti_3SiC_2$  材料既有金属的特性,又具有陶瓷材料的性能,在常温下有很好的导热性能和导电性能,在高温下具有塑性,同时,有高的屈服强度,高熔点、高热稳定性。作为高温结构材料,其抗高温氧化性引起了研究者的关注。近年来,为了提高其综合性能,关于  $Ti_3SiC_2$  复合材料的研究逐渐增多,主要的研究体系有  $SiC/Ti_3SiC_2$ ,  $TiC/Ti_3SiC_2$ ,  $Al_2O_3/Ti_3SiC_2$  等<sup>[1~7]</sup>。

碳化钽是一种杰出的过渡金属碳化物,具有优异的物理和化学性能,熔点高达 3880~4000℃。目前,  $TaC$  更多地应用于耐烧蚀涂层领域,许多研究者通过  $TaC$  改性 C/C 复合材料基体或涂覆  $TaC$  层提高 C/C 复合材料的高温抗氧化性能<sup>[8~10]</sup>。本工作采用反应热压烧结法制备含有 20%  $TaC/Ti_3SiC_2$  材料,并对其致密度、力学性能及抗氧化性能进行了研究。

## 1 试验过程

以  $Ti$  粉、 $SiC$  粉、石墨和  $TaC$  粉为原料,采用反应热压烧结法制备了含 20%  $TaC$ (质量分数,下同)的  $TaC/Ti_3SiC_2$  材料。将  $Ti$  粉、 $SiC$  粉、石墨和  $TaC$  粉按质量比 11.8:3.2:1.0:4.0 进行配料,将粉料在

行星式球磨机中湿混 4 h, 干燥后置于石墨磨具内进行热压烧结,烧结温度分别为 1500℃, 1550℃, 1600℃, 升温速率为 10℃/min, 热压压力为 25 MPa, 保温时间为 3 h, 气氛条件为真空。

氧化性试样为 4 mm × 4 mm × 10 mm 块体, 表面最终用 800# $SiC$  砂纸研磨, 在酒精中以超声波方法清洗。热重分析在 TGA-16-20P 热重分析仪中进行,以 10℃/min 升温至预定温度保温 20 h, 以获得不同温度下氧化增重随时间变化的曲线。

采用阿基米德法测试试样的显气孔率和体积密度。试样物相组成采用日本理学 DMAX-2400 型转靶 X-ray 衍射仪测定。利用 VEGA3 TESCAN 型扫描电镜观察试样的显微结构。弯曲强度和断裂韧度在 DWD-5 微机控制电子万能试验机上进行,采用三点弯曲法测定试样的弯曲强度,单边切口梁法测定试样的断裂韧度。

## 2 结果与讨论

### 2.1 热压温度对 20% $TaC/Ti_3SiC_2$ 相组成和致密度的影响

图 1 为不同热压温度烧结后 20%  $TaC/Ti_3SiC_2$  试样的 XRD 图谱。从图中可以看出,试样的主晶相为  $Ti_3SiC_2$  相,同时还有少量的  $TiC$  相生成。随着热压温度的升高,  $Ti_3SiC_2$  的主峰强度逐渐增强;  $TiC$  与  $TaC$  产生固溶现象,生成  $TaTiC_2$  固溶体,该固溶体主峰位置与  $TiC$  主峰重合,故  $TiC$  峰强度逐渐增强。

收稿日期: 2012-06-29; 修订日期: 2012-09-17

基金项目: 陕西省教育厅专项教研项目(01JK174)

作者简介: 杨祎诺(1988—),女,硕士,主要从事高温结构陶瓷材料的研究,(E-mail) wityyn@163.com。

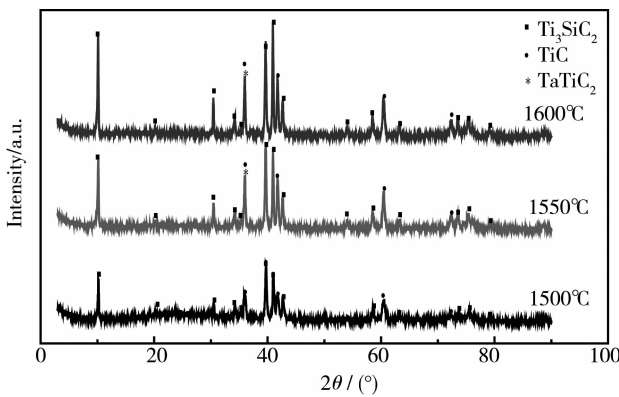


图 1 不同热压温度烧结后试样的 X 射线谱

Fig. 1 XRD patterns of the samples hot pressed at different temperatures

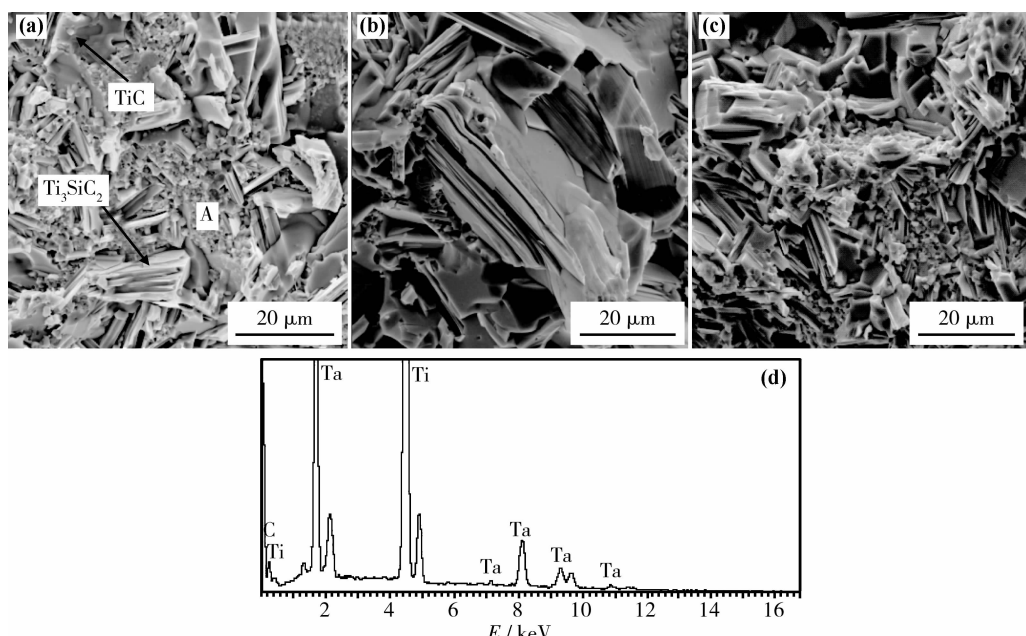
表 1 20% TaC/ $Ti_3SiC_2$  的体积密度和显气孔率Table 1 Volume density and apparent porosity of 20% TaC/ $Ti_3SiC_2$ 

Temperatune/ °C	Volume density/ ( g · cm <sup>-3</sup> )	Apparent porosity/ %
1500°C	5.29	0.76
1550°C	5.35	0.63
1600°C	5.37	0.43

表 1 给出了不同热压温度下 20% TaC/ $Ti_3SiC_2$  试样的体积密度和显气孔率。可见随着热压温度的升高, 体积密度逐渐增大, 显气孔率逐渐减小。根据混合法则计算得到的理论密度为 5.24 g/cm<sup>3</sup>,

而实际测得的体积密度均大于该理论密度, 主要有三方面原因: 1) 热压温度的升高有利于促进材料致密化; 2) 在热压过程中出现固溶现象, 固溶体 TaTiC<sub>2</sub> 主要分布在层状结构  $Ti_3SiC_2$  周围, 以小颗粒形式存在, 大大减小  $Ti_3SiC_2$  之间的间隙, 提高致密度; 3) 由于存在 TiC 相, 并且其理论密度高于  $Ti_3SiC_2$  的理论密度, 故对材料体积密度的增大有贡献。

图 2 为不同热压温度下试样的断口形貌。从图 2 中可看到, 主晶相为层状结构的  $Ti_3SiC_2$  晶粒, 颗粒状物质为 TaTiC<sub>2</sub> 固溶体, 同时含有一部分小颗粒状的  $Ti_3SiC_2$ , 与  $Ti_3SiC_2$  相伴生成的 TiC 小晶粒一部分镶嵌在层状结构中, 另一部分包含在小颗粒状  $Ti_3SiC_2$  中。层状结构的晶粒尺寸较大, 相互交错, 其断裂方式主要为穿晶断裂, 而颗粒状结构的晶粒尺寸较小, 其断裂方式主要为颗粒拔出和沿晶断裂。图 2(a) 为热压温度为 1500°C 的试样断口形貌图, 根据能谱分析, 图中 A 点处为固溶体 TaTiC<sub>2</sub>。在图 2(b) 中明显可观察到层状结构的  $Ti_3SiC_2$  晶粒的弯折, 通过晶粒的扭曲变形, 可以缓解应力集中。由图 2(c) 中可见 TiC 颗粒被拔出后在层状  $Ti_3SiC_2$  颗粒上留下许多圆形凹坑, 由于颗粒拔出过程消耗能量, 从而对韧化有贡献。同时层状结构能促使裂纹的偏转, 颗粒镶嵌在其中能阻碍基体内的位错滑移, 从而达到强化增韧的效果。

图 2 不同热压温度下 20% TaC/ $Ti_3SiC_2$  试样断口形貌图

(a) 1500°C; (b) 1550°C; (c) 1600°C; (d) A 点能谱分析

Fig. 2 Fracture morphology of 20% TaC/ $Ti_3SiC_2$  at different temperatures

(a) sample at 1500°C; (b) sample at 1550°C; (c) sample at 1600°C; (d) EDS of point A

## 2.2 热压温度对 20% TaC/Ti<sub>3</sub>SiC<sub>2</sub> 力学性能的影响

表 2 热压温度对 20% TaC/Ti<sub>3</sub>SiC<sub>2</sub> 力学性能的影响Table 2 Effect of hot pressing temperature on the mechanical properties of 20% TaC/Ti<sub>3</sub>SiC<sub>2</sub>

Temperatune/ ℃	Flexural strength/ MPa	Fracture toughness/ ( MPa · m <sup>1/2</sup> )
1500	192.90	3.29
1550	304.28	3.75
1600	391.79	4.07

由表 2 可见随着热压温度的升高,试样的弯曲强度和断裂韧度逐渐增大。由于升高热压温度有利于促进材料致密化,从而有利于提高材料的弯曲强度和断裂韧度。此外,随着热压温度的升高,颗粒状 Ti<sub>3</sub>SiC<sub>2</sub> 逐渐长大,层状 Ti<sub>3</sub>SiC<sub>2</sub> 大晶粒增多,这样材料容易发生晶面滑移和晶粒弯折,这些均有利于断裂韧性的提高<sup>[2]</sup>。

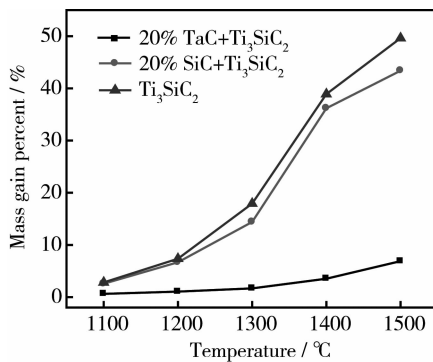


图 3 各试样在不同温度下氧化 20 h 后的增重百分比

Fig. 3 Mass gain per cent of different samples oxidized at 1100 – 1500°C for 20 h

## 2.3 恒温氧化行为

与本课题组之前所做的 20% SiC/Ti<sub>3</sub>SiC<sub>2</sub> 材料抗氧化性实验结果对比<sup>[11]</sup>,得到图 3,即 20% TaC/Ti<sub>3</sub>SiC<sub>2</sub> 试样与 20% SiC/Ti<sub>3</sub>SiC<sub>2</sub> 试样和纯 Ti<sub>3</sub>SiC<sub>2</sub> 试样在不同温度下氧化 20 h 后增重百分比对比图。从图中可以明显地看到,随着氧化温度的升高,三组试样在氧化 20 h 后的质量百分比均有所增大,温度越高,氧化速率越快,质量增加的越多。另外,也可清楚地看到三组试样中,20% TaC/Ti<sub>3</sub>SiC<sub>2</sub> 试样的增重远远小于其他两组试样,即该材料的抗氧化性能明显优于其他两种材料,并且氧化温度越高,这种作用愈明显。

图 4 为 20% TaC/Ti<sub>3</sub>SiC<sub>2</sub> 和 20% SiC/Ti<sub>3</sub>SiC<sub>2</sub> 试

样在 1300°C 氧化后氧化层 SEM 图。从图 4 中可以看到 20% TaC/Ti<sub>3</sub>SiC<sub>2</sub> 试样氧化层厚度约为 50 μm,20% SiC/Ti<sub>3</sub>SiC<sub>2</sub> 试样氧化层厚度约为 229.7 μm。这直观地说明了 20% TaC/Ti<sub>3</sub>SiC<sub>2</sub> 材料的抗氧化性能优于 20% SiC/Ti<sub>3</sub>SiC<sub>2</sub> 材料。

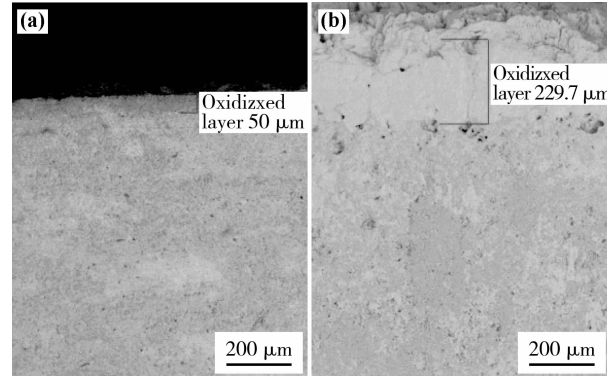
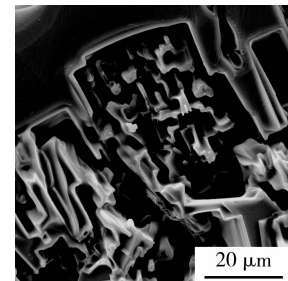
图 4 20% TaC/Ti<sub>3</sub>SiC<sub>2</sub> 和 20% SiC/Ti<sub>3</sub>SiC<sub>2</sub> 试样在 1300°C 氧化后氧化层 SEM 图  
(a) 20% TaC/Ti<sub>3</sub>SiC<sub>2</sub> (b) 20% SiC/Ti<sub>3</sub>SiC<sub>2</sub>Fig. 4 SEM of 20% TaC/Ti<sub>3</sub>SiC<sub>2</sub> and 20% SiC/Ti<sub>3</sub>SiC<sub>2</sub> oxidized at 1300°C (a) 20% TaC/Ti<sub>3</sub>SiC<sub>2</sub>; (b) 20% SiC/Ti<sub>3</sub>SiC<sub>2</sub>图 5 20% SiC/Ti<sub>3</sub>SiC<sub>2</sub> 试样在 1300°C 氧化后表面形貌  
Fig. 5 SEM images of 20% SiC/Ti<sub>3</sub>SiC<sub>2</sub> oxidized at 1300°C

图 5 为 20% SiC/Ti<sub>3</sub>SiC<sub>2</sub> 试样在 1300°C 氧化后表面形貌图。从图中可以看到,在 1300°C 氧化后,20% SiC/Ti<sub>3</sub>SiC<sub>2</sub> 试样表面的蜂窝状结构明显,与图 7(c) 中在 1300°C 氧化后的 20% TaC/Ti<sub>3</sub>SiC<sub>2</sub> 试样表面相比,孔洞较大,氧化层的致密度较低,O<sub>2</sub> 易通过氧化层将 Ti<sub>3</sub>SiC<sub>2</sub> 基体氧化。因此,20% TaC/Ti<sub>3</sub>SiC<sub>2</sub> 材料的抗氧化性能优于 20% SiC/Ti<sub>3</sub>SiC<sub>2</sub> 材料。

## 2.4 氧化后相组成分析

对氧化后的试样进行相组成分析,图 6 为 20% TaC/Ti<sub>3</sub>SiC<sub>2</sub> 试样在不同温度下氧化后的 XRD 图谱。从图中可以清楚看到,从 1100 ~ 1400°C,主晶相为 Ti<sub>3</sub>SiC<sub>2</sub>,其中含有少量的 TiO<sub>2</sub>,

随着氧化温度的升高,  $Ti_3SiC_2$  的主峰强度逐渐减弱, 到 1500℃ 时消失, 即  $Ti_3SiC_2$  被完全氧化; 而  $TiO_2$  的主峰强度逐渐增强, 到 1500℃ 时还出现少量  $SiO_2$ 。1100~1400℃ 试样的氧化层很薄, 主要为  $Ti_3SiC_2$  的氧化, 加入的 TaC, 产生的氧化物为  $Ta_2O_5$ , 据李国栋等研究结果表明, TaC 在 900℃ 时已经被完全氧化为  $Ta_2O_5$ ,  $Ta_2O_5$  在 1500℃ 时会产生部分液相<sup>[12]</sup>。由于在 XRD 图谱中未发现有该物相, 而根据图 8 中的对颗粒的能谱分析, 主峰为 Ti, Ta 和 O, 推测在低于 1500℃ 时,  $Ta_2O_5$  与  $TiO_2$  共熔产生液相。

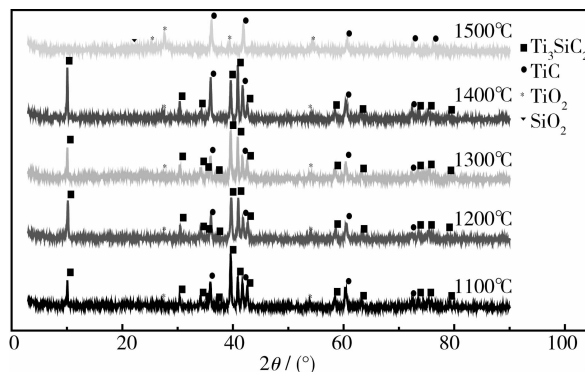


图 6 20% TaC/ $Ti_3SiC_2$  试样在不同温度下氧化后的 XRD 图谱

Fig. 6 XRD patterns of 20% TaC/  $Ti_3SiC_2$  at different oxidation temperatures

## 2.5 氧化层显微结构分析

图 7 为 20% TaC/ $Ti_3SiC_2$  试样在不同温度下氧化 20 h 后的表面形貌。从图中可以看到, 氧化温度为 1100℃ 时, 试样表面由尺寸不一的颗粒组成, 并且存在较大空隙。随着温度的升高, 颗粒继续被氧化, 大颗粒表面出现少量液相并团聚在一起, 小颗粒逐渐长大, 颗粒间空隙逐渐变小。氧化温度达到 1400℃ 时, 产生大量液相, 空隙明显减少, 这种现象很好地说明了该物质具有更好的抗氧化性能, 并且与之前的推测: 在低于 1500℃ 时,  $Ta_2O_5$  与  $TiO_2$  已共熔产生液相一致。在 1500℃ 时, 试样没有保持完整性, 故在此不分析。

图 8 为 20% TaC/ $Ti_3SiC_2$  试样在 1400℃ 氧化后氧化层的能谱分析。通过该分析可以看出氧化层分为两层, 外层氧化物主要为  $TiO_2$ , 内层氧化物主要为  $TiO_2$ 、 $SiO_2$  及  $TiO_2$  与  $Ta_2O_5$  的共熔物, 由于内层中产生液相, 使颗粒间空隙减小, 形成较为致密的氧化层, 从而阻碍 O 进一步氧化  $Ti_3SiC_2$ , 提高抗氧化性能。

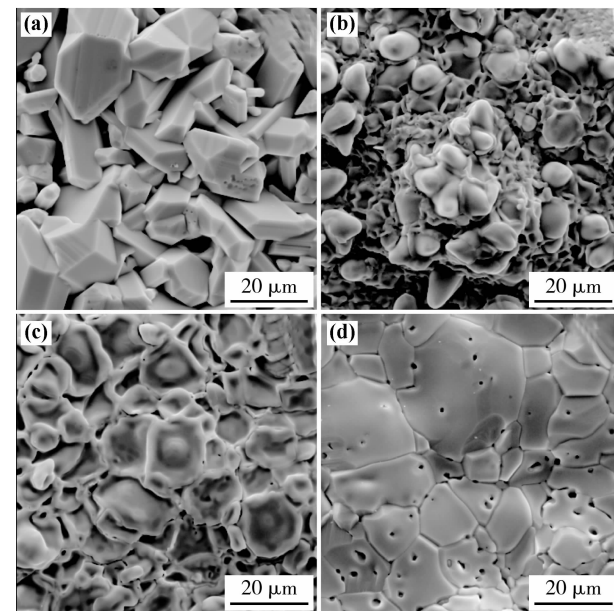


图 7 20% TaC/ $Ti_3SiC_2$  在不同温度下氧化后表面形貌

Fig. 7 SEM images of 20% TaC/  $Ti_3SiC_2$  at different oxidation temperatures (a) 1100°C ; (b) 1200°C ; (c) 1300°C ; (d) 1400°C

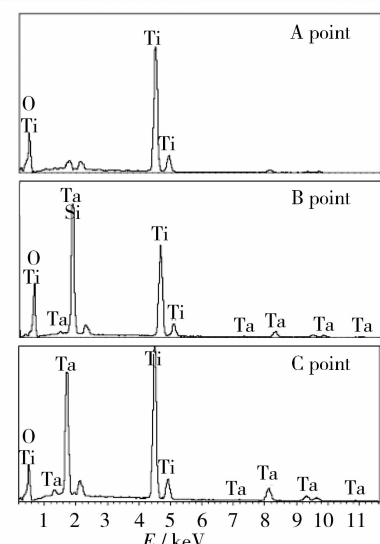
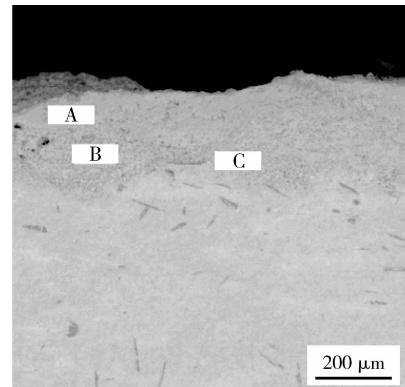


图 8 20% TaC/ $Ti_3SiC_2$  试样在 1400℃ 氧化后氧化层能谱分析

Fig. 8 EDS of 20% TaC/  $Ti_3SiC_2$  oxidized at 1400°C

### 3 结论

(1) 采用反应热压烧结法制备了20% TaC/Ti<sub>3</sub>SiC<sub>2</sub>材料。随着热压温度的升高,该材料的致密度、弯曲强度和断裂韧度有所提高。

(2) 20% TaC/Ti<sub>3</sub>SiC<sub>2</sub>材料抗氧化性能优于纯Ti<sub>3</sub>SiC<sub>2</sub>材料和20% SiC/Ti<sub>3</sub>SiC<sub>2</sub>材料。

(3) 20% TaC/Ti<sub>3</sub>SiC<sub>2</sub>材料形成的氧化层分为两层,外层氧化物主要为TiO<sub>2</sub>,内层氧化物主要为TiO<sub>2</sub>、SiO<sub>2</sub>及TiO<sub>2</sub>与Ta<sub>2</sub>O<sub>5</sub>的共熔物。

### 参考文献:

- [1] BARSOUM M W, EL-RAGHY T, OGBUJI L. Oxidation of Ti<sub>3</sub>SiC<sub>2</sub> in Air [J]. J Electrochem Soc, 1997, 144: 2508 – 2516.
- [2] 李世波,成来飞.层状Ti<sub>3</sub>SiC<sub>2</sub>陶瓷的组织结构及力学性能[J].复合材料学报,2002, 19 (6):20 – 24.  
(LI S B, CHENG L F. Microstructure and mechanical properties of Ti<sub>3</sub>SiC<sub>2</sub> ceramics [J]. Acta Materiae Compositae Sinica, 2002, 19 (6):20 – 24.)
- [3] 尹洪峰,范强,任耘,等. SiC含量对Ti<sub>3</sub>SiC<sub>2</sub>/SiC复合材料性能的影响[J].航空材料学报,2008, 28(6):78 – 81.  
(YIN H F, FAN Q, REN Y, et al. Effect of Content of SiC on Properties of Ti<sub>3</sub>SiC<sub>2</sub>/SiC Composites [J]. Journal of Aeronautical Materials, 2008, 28(6):78 – 81.)
- [4] 朱达炎,朱教群,梅炳初,等.Ti<sub>3</sub>SiC<sub>2</sub>/TiB<sub>2</sub>复合材料的制备及其组织和力学性能[J].武汉理工大学学报,2005, 27 (12):1 – 4.  
(ZHU D Y, ZHU J Q, MEI B C, et al. Fabrication Microstructure and Mechanical Properties of Ti<sub>3</sub>SiC<sub>2</sub>/TiB<sub>2</sub> Composites [J]. Journal of Wuhan University of Technology, 2005, 27 (12):1 – 4.)
- [5] BENKO E, KLIMCZYK P, MACKIEWICZ S, et al. cBN – Ti<sub>3</sub>SiC<sub>2</sub> Composites [J]. Diamond and Related Materials. 2004, 13 :521 – 525.
- [6] 尹洪峰,任耘,范强,等.反应热压烧结法制备SiC/Ti<sub>3</sub>SiC<sub>2</sub>复合材料及其性能[J].复合材料学报,2011, 28 (3):70 – 73.  
(YIN H F, REN Y, FAN Q, et al. Fabrication and properties of SiC/Ti<sub>3</sub>SiC<sub>2</sub> composites by reactive hot pressing sintering [J]. Acta Materiae Compositae Sinica, 2011, 28 (3):70 – 73.)
- [7] 刘波波,王芬,朱建锋,等.Ti<sub>3</sub>SiC<sub>2</sub>/TiC复相陶瓷原位合成的研究[J].材料热处理学报,2009, 30(4):14 – 16.  
(LIU B B, WANG F, ZHU J F, et al. Synthesis of Ti<sub>3</sub>SiC<sub>2</sub>/TiC composite ceramics by in situ reactions [J]. Transactions of Materials and Heat Treatment, 2009, 30(4):14 – 16.)
- [8] 闫志巧,肖鹏,熊翔,等.TaC粉末/涂层制备技术的研究进展[J].材料导报,2005, 19(12):80 – 84.  
(YAN Z Q, XIAO P, XIONG X, et al. Study on preparation techniques and developments of TaC powder/coating [J], Materials Review, 2005, 19 (12):80 – 84.)
- [9] 李江,张红波,熊翔,等.C/C复合材料表面TaC涂层的制备和生成机制[J].稀有金属材料与工程,2009, 38 (3): 496 – 499.  
(LI J, ZHANG H B, XIONG X, et al. Preparation and formation mechanism of TaC coating on carbon/carbon composites [J]. Rare Metal Materials and Engineering, 2009, 38 (3): 496 – 499.)
- [10] ZHANG X H, HILMAS G E., FAHRENHOLTZ W G.. Densification and mechanical properties of TaC-based ceramics [J]. Materials Science and Engineering, 2009, 501:37 – 43.
- [11] 孙高磊,尹洪峰,董留兵,等.Ti<sub>3</sub>SiC<sub>2</sub>/SiC复合材料的抗高温氧化性研究[J].硅酸盐通报,2011, 30 (5):993 – 996.  
(SUN G L, YIN H F, DONG L B, et al. High temperature oxidation resistance of Ti<sub>3</sub>SiC<sub>2</sub>/SiC composites [J]. Bulletin of the Chinese Ceramic Society, 2011, 30 (5):993 – 996.)
- [12] 李国栋,熊翔,黄伯云,等.TaC涂层的氧化特征与氧化机制[J].中国有色金属学报,2007, 17(3):360 – 367. (LI G D, XIONG X, HUANG B Y, et al. Oxidized characteristic and oxidized mechanism of TaC coating [J]. The Chinese Journal of Nonferrous Metals, 2007, 17(3):360 – 367.)

## Effect of Addition of TaC on Properties of Ti<sub>3</sub>SiC<sub>2</sub> Ceramics

YANG Yi-nuo, YIN Hong-feng, LIU Bai-kuan, YUAN Hu-die, JIA Huan

(College of Materials and Mineral Resources, Xi'an University of Architecture and Technology, Xi'an 710055, China)

**Abstract:** The material of 20% (mass fraction, same below) TaC/Ti<sub>3</sub>SiC<sub>2</sub> was prepared by reactive hot pressing method. The phase constituent, mechanical properties and oxidation resistance were investigated. The results showed that: (1) The densification, flexural strength and fracture toughness of 20% TaC/Ti<sub>3</sub>SiC<sub>2</sub> increase with the increase of hot pressing temperature; (2) The oxidation resistance of 20% TaC/Ti<sub>3</sub>SiC<sub>2</sub> is much higher than that of monolithic Ti<sub>3</sub>SiC<sub>2</sub> and 20% SiC/Ti<sub>3</sub>SiC<sub>2</sub> composites; (3) The oxidized layers of TaC/Ti<sub>3</sub>SiC<sub>2</sub> are composed of two layers. The outer layer is TiO<sub>2</sub>. And the inner layer is the mixture of TiO<sub>2</sub>, SiO<sub>2</sub> and the eutectoid of TiO<sub>2</sub> and Ta<sub>2</sub>O<sub>5</sub>.

**Key words:** TaC; Ti<sub>3</sub>SiC<sub>2</sub>ceramics; mechanical properties; oxidation resistance